

# I-11 L字形鉄骨筋+コンクリート構造滑粗り柱はり接合部のせん断強度について

京都大学防災研究所 岩林 実  
大阪工業大学 ○南 宏一  
大阪工業大学大学院 西村泰志

## 1. 序

柱はり接合部は、地震力および水平力によらず、非常時に大きなせん断力を要す。構造的に重要な箇所である。鉄骨筋+コンクリート柱はり接合部の場合、コンクリートの耐力と、鉄骨ヤードの耐力を協同して働く、接合部の作用によるせん断力抵抗力も考慮される。しかし一方で、コンクリートの耐力のせん断強度は、(1)接合部形式(L,T,十字形)、(2)直交側の有無、(3)柱はり幅比 $B_b/B_c$ ( $B_b$ :はり幅、 $B_c$ :柱幅)等因素の影響を受けるが、非常時は複雑である。既往の研究では、主に研究のほとんどない、接合部形式に関する、内柱に対する十字形の柱と、側柱に対する横柱に対する応答、L字形、およびL字形に関する、主に研究のほとんどない。また、柱はり幅比の異なる場合の影響に関する研究も、ほとんどない。この様な観点に基づき、各種接合部形式の異なる十字形、T字形およびL字形骨組の揚げた、接合部のせん断強度(柱はり幅比(B<sub>b</sub>/B<sub>c</sub>)、柱はり筋骨の場合は柱幅)の変化による接合部のせん断強度の変動的傾向と、一定の実験変数に基づく、52体の実験的研究と企画した。これにて、L字形骨組に関する実験計画と結果の概要、および解析解への一つの試みを述べるものである。

## 2. 実験計画

### 2.1 試験体

試験体は、接合部のせん断強度が光行する様に設計した、鉄骨L字形骨組に、コンクリート柱打設して柱はり幅比 $B_b/B_c=0.0, 0.6, 0.8, 1.0$ 、柱はり筋骨 $B_b/B_c=0.14, 0.19, 0.25$ 、柱はり筋骨があるものとないもの

Specimen <sup>(*)</sup>	Section of Column $B_c \times D_c$	Section of Beam $B_b \times D_b$	$B_b/B_c$	Section of Steel Skeleton		Panel Thickness	Reinforcement	
				Column	Beam		Column	Beam
L-AOM, L-AQR				H-200×80 ×9×25	H-200×80 ×9×25	6		
L-BOM, L-BOR	250×250		0	H-200×80 ×9×25	H-200×80 ×9×25	6	each side 2-9# 6φ100φ	
L-BGM, L-BGR	250×250	150×250	0.6	H-200×80 ×9×25	H-200×80 ×9×25	6	each side 2-9# 6φ100φ	each side 2-9# 6φ100φ
L-BSM, L-BSR	250×250	200×250	0.8	H-200×80 ×9×25	H-200×80 ×9×25	6	each side 2-9# 6φ100φ	each side 2-9# 6φ100φ
L-BIM, L-BIR	250×250	250×250	1.0	H-200×80 ×9×25	H-200×80 ×9×25	6	each side 2-9# 6φ100φ	each side 2-9# 6φ100φ
L-E5R	250×250		0	H-200×130 ×9×16	H-200×130 ×9×16	6	each side 2-9# 6φ100φ	
L-E7R	250×250		0	H-200×170 ×9×12	H-200×170 ×9×12	6	each side 2-9# 6φ100φ	
L-EOM, L-EOR	250×250		0	H-200×80 ×9×25	H-200×80 ×9×25	non	each side 2-9# 6φ100φ	
L-CIM, L-CIR	250×250	250×250	1.0				each side 6-D16 6φ50φ	each side 5-D16 6φ50φ

(\*)試験体の名称によって、その試験体の実験変数の組合せが明示できるようにした。

### 試験体形状

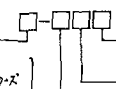
A:柱はり筋骨の試験体

B:一度の実験変数( $B_c=200, 250, 300, 350$ mm)を含むシグズ

C:柱はり筋骨+カートの試験体

E:柱はり筋骨を1.0倍するもので、アシジ幅の差を補うもの

および鉄骨ケーブルのないもののシグズ



M:単調

R:くり返し

柱はり筋比 $B_b/B_c = 0.0, 0.6, 0.8, 1.0$  (但し $B_b/B_c = 1.0$ は、柱はり筋骨)またE-11の0.3, 7.2は各々鉄骨ケーブルないアシジ幅130, 170mmを意味す。

上種類、鉄骨 U 字形骨組は、S54/9 材材 (E26, 9, 12, 16, 25) 及び溶接組立 L 形鋼による構成とした。  
又、試験体の種類は、以下、单调、  
U に沿う載荷の組合せとし、計 16 体の試験体を作製した。実験変数は、  
組合せ、拘束度、計測して試験体  
の断面寸法と、形状寸法を Table 1,  
図示す。Fig. 1 は本。  
2.2 使用材料および作製

鉄骨 U 字形骨組は、S54/9 材材 (E26, 9, 12, 16, 25) 及び溶接組立 L 形鋼による構成とした。  
又、試験体は、SP300D16, SR24  
を用い、それ断脚強筋として  
E24相当品の 6 本を使用した。又、主筋の定着  
は、エレトアレート接合側は、エレトアレートによる溶接を行ふ、他方は、鉄筋 U ハーネット構造計算規  
準に準じて行なった。

セメントは、普通 Portland セメント、砂は、12  
mm 以下、砂利は、5 mm 以上 10 mm、SF のモルタルを  
用いた。又 U ハーネットは、重量割合 2%、セメント：  
砂：砂利 = 1:2.17:3.03 でし、水セメント比 68%  
である。  
又、セメント 21 cm の L 形。エレトアレートは、木材と  
角柱に設置して鋼製型枠内に打設した。エレトアレート  
打設後 3~4 日で脱型し、実験実施まで、室温養生を行なった。  
Table 2 は使用材料の機械的特性を示す。

### 2.3 載荷装置、載荷法、測定法など

Photo. 1 は、実験装置の概略を示す。試験体の取付け  
は、床面に設置した天板と地盤との間に、一  
直角線上にある柱に、手以、及曲点のレベル尺、載荷方法  
のレベル尺、同一面上にある柱と柱と、載荷レバー。  
荷重は、ジャッキの先端に設置したローターセルによ  
る測定した。

載荷法は、单调、U に沿う、U に沿う載荷の場合、外  
二等分柱に載荷し、つづいて、U に沿う載荷の場合、外

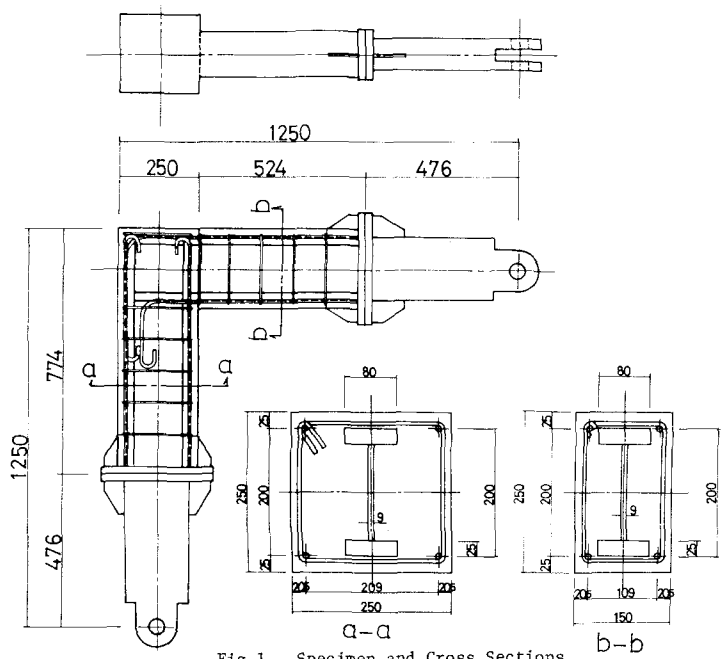


Fig. 1 Specimen and Cross Sections

Table 2 Mechanical Properties of material

Material	Concrete			Steel			Reinforcement				
	$F_c^*$ (kg/cm <sup>2</sup> )	$F_t^*$ (kg/cm <sup>2</sup> )	$F_{ct}/F_c$	$\epsilon_y^*$ (t/cm <sup>2</sup> )	$\epsilon_{max}^*$ (t/cm <sup>2</sup> )	$\epsilon_u^*$	$\phi$	$\theta_y^*$ (t/cm <sup>2</sup> )	$\theta_{max}^*$ (t/cm <sup>2</sup> )	$\epsilon_u^*$	
L-AOM	..	..	..	6	3.12	4.26	0.309	..	..	..	
	..	..	..	9	3.50	4.70	0.250	..	..	..	
	..	..	..	12	2.84	4.50	0.329	..	..	..	
L-AOR	..	..	..	25	2.81	4.72	0.319	..	..	..	
	..	..	..	..	..	..	..	..	..	..	
	..	..	..	..	..	..	..	..	..	..	
L-BOM	170.0	18.0	0.106	..	..	..	..	6	2.38	3.60	0.308
..	..	..	..	..	..	..	..	9	3.05	4.88	0.275
L-BOR	191.3	20.9	0.109	..	..	..	..	..	..	..	..
L-B6M	218.1	19.5	0.089	..	..	..	..	..	..	..	..
L-B6R	182.7	20.6	0.113	..	..	..	..	..	..	..	..
L-B8M	195.4	17.5	0.090	..	..	..	..	..	..	..	..
L-B8R	185.7	21.8	0.117	..	..	..	..	..	..	..	..
L-B1M	171.5	19.8	0.115	..	..	..	..	..	..	..	..
L-B1R	160.0	19.0	0.119	..	..	..	..	..	..	..	..
L-E3R	..	..	..	6	3.12	4.26	0.309	..	..	..	
	210.0	23.4	0.111	9	3.50	4.70	0.250	..	..	..	
	..	..	..	12	2.84	4.50	0.329	..	..	..	
L-E7R	..	..	..	16	3.02	4.53	0.318	..	..	..	
	217.0	22.7	0.105	6	3.12	4.26	0.309	..	..	..	
	..	..	..	3.30	4.70	0.250	..	..	..	..	
L-EOM	..	..	..	12	2.84	4.50	0.329	..	..	..	
	215.4	23.9	0.111	9	3.50	4.70	0.250	..	..	..	
	..	..	..	12	2.84	4.50	0.329	..	..	..	
L-EOR	..	..	..	25	2.61	4.72	0.319	..	..	..	
	210.0	24.9	0.119	..	..	..	..	..	..	..	
	..	..	..	..	..	..	..	..	..	..	
L-C1M	205.1	22.6	0.110	..	..	..	D-30	3.68	5.61	0.295	
	..	..	..	..	..	..	6	2.38	3.60	0.308	
L-C1R	207.4	20.9	0.101	..	..	..	..	..	..	..	

※ 3 本の試験体の平均値を示す

側圧縮側 (opening) は、柱子様に載荷した。Fig. 2 は、より遠い載荷時の載荷法則を示す。柱子、荷重変換装置の制御方法は Fig. 3 に示す。柱子様は、10キルの封筒線荷重に付けて長さ2個のゲージから測定し変位 ( $\delta_1, \delta_2$ ) が、所定のせん断ひずみに対応する値に達した時とあわせて、荷重段階の制御振幅をレバ。

柱子、Fig. 4 は、柱子様に接合部10キルの封筒線荷重のゲージ位置は、レジ骨組の内側に滑接り式で付け、接合部10キルの大変形時に柱子、各ボルトの変形が、2回り以上破壊に至る、拘束条件も柱子様にすく崩れ、2回り以上ボルトの間隔は、5mm程度のままで設計した。

柱子、接合部10キルのひずみ状態と測定する為に、鉄骨側、およびコンクリート面に、ロsett、スカーフ、および、1枚の電気抵抗線ゲージ (W.S.G.) を貼付した。

### 3. 実験結果

#### 3.1 ひび割れ状況

Photo. 2 は、ひび割れ状況の一例を示す。ひび割れの発生過程は、单调およびくり返し載荷によってからむけます。はりあわせは柱子材に、曲げひび割れへ、生じ、次いで、初期斜張力ひび割れへ生じます。この初期斜張力ひび割れは、Table 3 に示す柱子各試験体とも、接合部10キルのせん

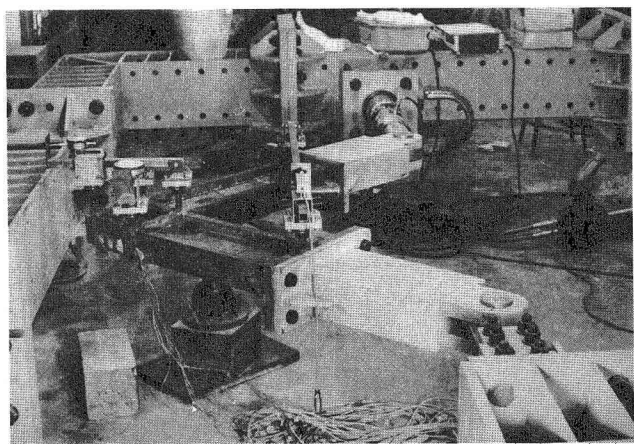


Photo. 1 Loading apparatus

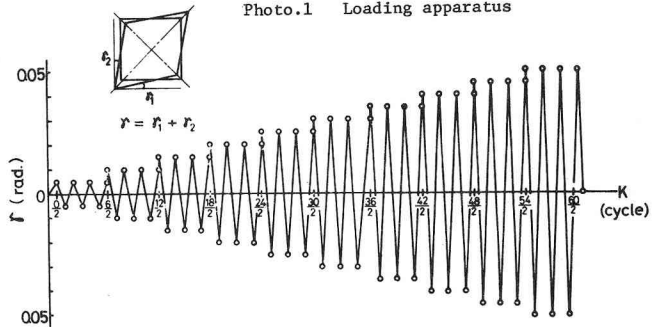


Fig. 2 Loading program

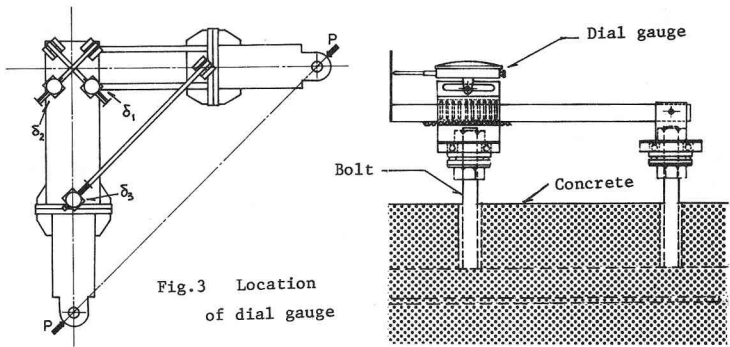


Fig. 4 Detail of attachment

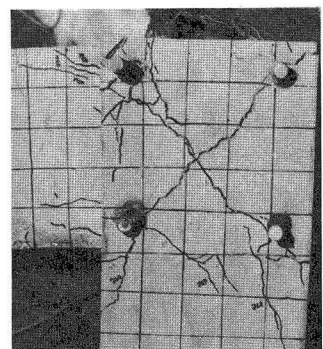


Photo. 2 Typical crack pattern

断面寸法、18倍  $0.005$  (rad) の時に

破壊が小さく、この時直2-1T、初期斜

張力分布割小T、10本の金筋は均以

て直角、11本の金筋は均以

て少しづつ部分的に斜めで、

2: B C、W.S.G. 1: 8.8Mの測定によ

て確認が小さく、柱は1:斜比は1:8

2: 1:1-1:10本の斜張筋

の分布状況は、半調載荷の場合

と同様である。

ひび割れ幅は、大きくなる。

ひび割れ幅は、小さくなる。

ひび割れ幅は、小さくなる。

ひび割れ幅は、大きくなる。

Table 3 Test Results

Specimen	Diagonal tension cracking load (t) $P_c$	Maximum load (t) $P_m$	Shear strain of diagonal tension crack (rad) $\gamma_c$	Shearing stress (%) $\tau_c/P_c$				Diagonal tension cracking load (t) $P_c$	Maximum load (t) $P_m$	Shear strain of diagonal tension crack (rad) $\gamma_c$	Shearing stress (%) $\tau_u/P_c$	
L-AOM	9.58							L-BIM	10.43	13.07	0.0046	0.183
L-AOR		8.72 (8.64)						L-BIR	9.77 (10.34)	12.21 (10.34)	0.0043 (0.0175)	
L-BOM	9.70	11.49	0.0067	0.125	0.125			L-E3R	9.86 (6.42)	11.00 (10.66)	0.0044 (0.0228)	
L-BOR	9.70 (8.65)	10.37 (9.88)	0.0070 (0.0051)					L-E7R	10.80 (10.00)	11.78 (12.08)	0.0120 (0.0098)	
L-B6M	10.10	12.36	0.0040	0.137	0.159			L-EOM	4.80	6.75	0.0057	
L-B8R		10.26 (8.97)	11.58 (10.67)	0.0033 (0.0054)				L-EOR	4.90 (5.10)	6.38 (6.32)	0.0049 (0.0101)	
L-B8M	10.84	12.92	0.0061	0.166	0.205			L-CIM	10.82	11.72		
L-B8R	10.75 (9.37)	12.73 (9.79)	0.0048 (0.0060)					L-CIR	6.74 (2.99)	11.40 (2.99)		

$B_y/B_c$  の小さい L-BOM, L-BEM, L-BRM とは、1本の斜

張力分布割の成長と、その分布割は、大

きい。L-EOM の場合、L-BOM, L-BEM, L-BRM と同様に、

分布状況は量ずつ、2本の斜張力分布割。

破壊が小さく、一方、L-BOM の場合、ひび割

れ分布状況は、 $B_y/B_c = 2 > 1$  と著しく差異は、認め

るが、付着破壊地帯の中のひび割れは、破壊さ

ない。L-BOM, L-CIR の場合、10本の金筋

域に中立、2本のひび割れが、分散して 3 つ

ある。観察は小さく、また、L-CIR において、opening loading

の場合、剥離する柱の張筋の接着部分に、剥離

しない。付着破壊地帯の中のひび割れは、破壊さ

ない。2時の耐力は、柱偏筋に付着破壊し他の方

と耐力は同一程度である。

## 3.2 荷重変形曲線

Fig.5 は、半調載荷時の接合部10本の荷重変形

曲線を示す。接合部10本の初期剛性は、柱偏

筋倍増、大きくなり、柱偏筋倍増は、弱。

また、初期斜張力分布割の耐力および最大耐力は

7.00 t で、 $B_y/B_c$  大きくなる程、大きくなる傾向

はある。L-B6M や L-BOM、各試験体とも、初期斜張力分布割の耐力以上の抵抗力を期待する。C は、大きな様である。この理由の一因は、接合部の内側へ、圧縮拘束がある様、載荷した後、2-7T-1:10本V に十分な、正荷場所構成され、期待される。自己混水化だ。Fig.6 は、荷重変形曲線である。試験体の設計は、隠し、接合部10本の最大断歪度は、先行する柱の設計値を用いた。当然のことながら、この性状は、接合部10本の荷重変形曲線も相似である。L-CIM の例では、最大耐力以後

木製骨筋コンクリート試験体の荷重変形曲線から、鉄筋骨試験体の荷重変形曲線と差し引いて得られた値である。しかし、柱に繋ぐ引張筋の場合は、両者の値中から、ていてない為、差し引くことができず省略した。なお、( )内の値は opening loading の場合の値を示す。

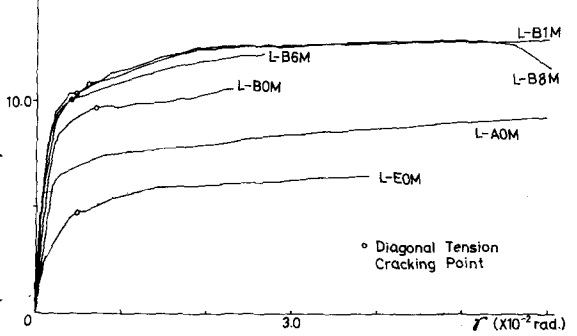


Fig.5 Load-Shear Strain Curves (monotonic loading)

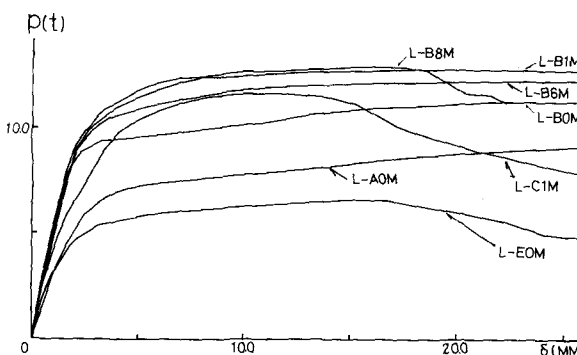
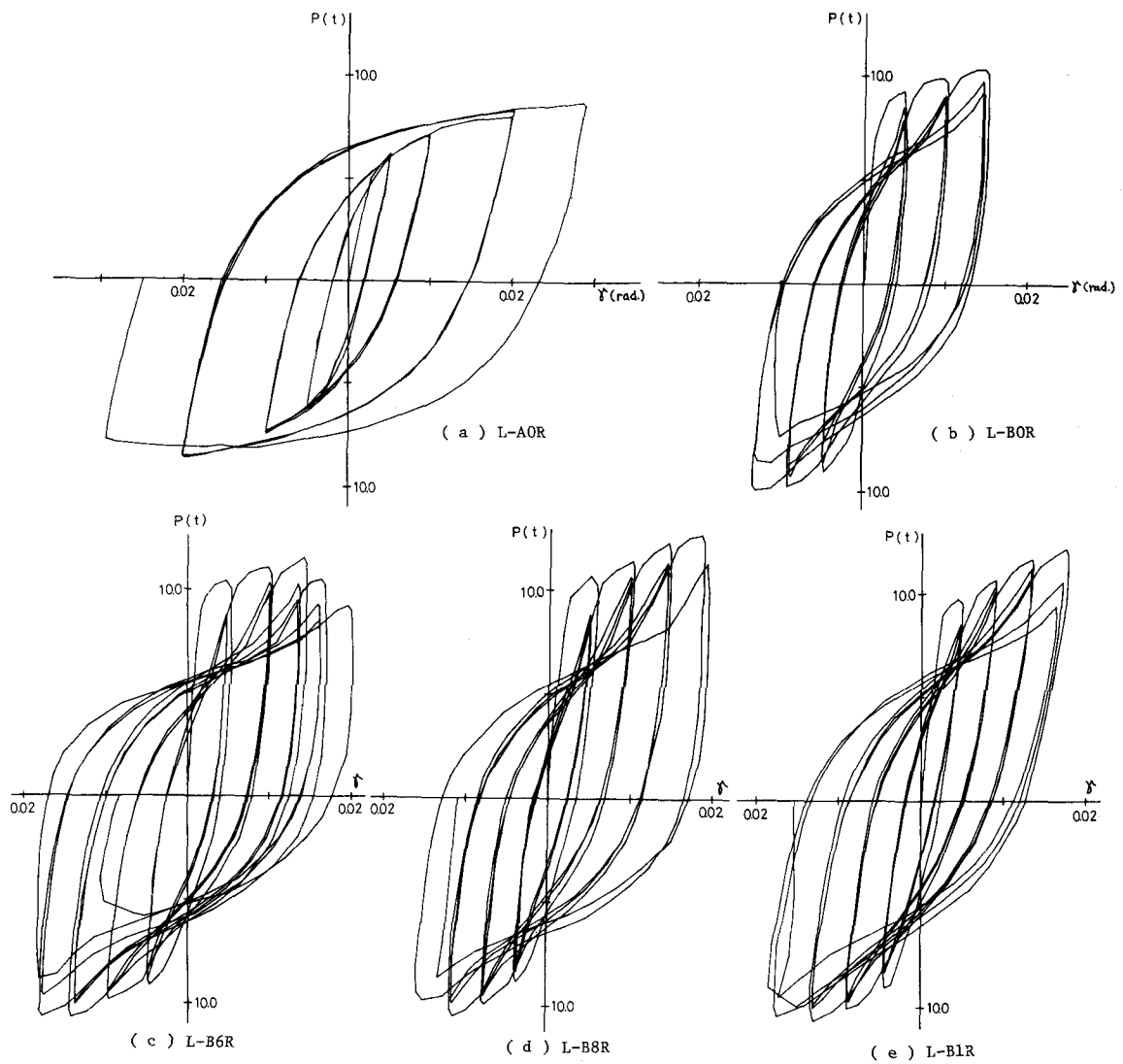


Fig.6 Load-deflection curves (monotonic loading)



急激に耐力が低下します。

Fig.7は、くり返し載荷時、接着部10cmの荷重変形曲線(L-CIRは、骨粗鬆症の荷重変形曲線)を示す。L-AORの場合、履歴曲線は、筋錐形で、骨ナックル段階の2回目で、1年後42%低下します。鉄骨鉄筋+V7+一トの試験体(L-BOR,L-B6R,L-B8R,L-B1R)の場合、履歴曲線は、スリーブ形(めらか)またはS字形であります。また、接着部10cmに、残留ひずみ割れ心地存在するところは、鉄骨だけの履歴性状と示します。

Fig.7 Load-shear strain curves (repeated-loading)

の残留せん断力、開口初期とエンターリーと、きさはじめ、鉄骨試験体とシートボルトの履歴性状を示す。LCIRの場合、履歴曲線は、鉄骨試験体と試験体と同様、スリット形である。レバーレギュラ、opening載荷の場合、初期の耐力が、得られにくくなる。柱主筋の付着破壊によるものと思われる。また、各サイクル毎の1回目の最大耐力、包絡線は、单调載荷時の荷重変形曲線とほぼ一致する。Fig.8は、各サイクル毎の1回目の最大耐力を1.0とした場合の2,3,4回目の最大耐力の低下率と回数との関係の一例を示すものである。鉄骨試験体の場合、各サイクル毎に段階的に一定の値を保持している。L-B1Rの場合、鉄骨試験体とシートボルト試験体の場合、ひびき幅、各サイクル毎の耐力の低下は、1回目と2回目ほど大きく、それ以後は、ほとんど低下しない。すなわち、closed loading と opening loading を比較した場合、opening loading の方が、より低下率は、小さく思われる。

### 3.3 エンターリー本数のせん断挙動

Fig.9は、柱はり幅比の異なる試験体の接合部10本の荷重変形曲線である。鉄骨試験体（無柱主筋試験体、機械的特性は共通）の荷重変形曲線と差し引いたものである。この差は、柱接合部部分で、エンターリー本数が、抵抗力に対するせん断力に対する影響を示す。今、エンターリー10本の場合、せん断力は、有效抵抗力を範囲で柱幅に対する割合で表す。

柱幅領域（即ち、 $b_c \times s_j$ ）と L、P の関係を Fig.14 に示す様に、正規化分布は鉄骨シートボルト4個の位置で鉄骨組の重心間位置で最大であるが、後減少し、由ガモーメントによる軸力は、すべて左端位置で生じる。柱はり L、P、せん断力は、すべて同一様に分布するが、後減少する場合、初期耐張力が減少する時、および、せん断变形が  $\gamma = 0.02$  (rad) 時には、柱はりせん断応力度とエンターリー圧縮強度との無次元化した値と、Table 3 に示す。二種類あるが、初期耐張力が減少する時、せん断応力度は、 $0.125 F_c \sim 0.183 F_c$  であり、 $\delta = 0.02$  (rad.) 時のせん断応力度は、 $0.125 F_c \sim$

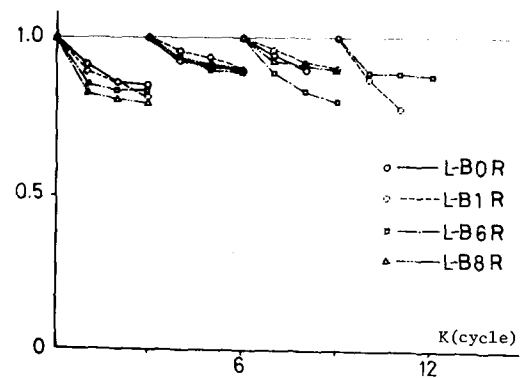


Fig.8 Deterioration of Shear Capacity vs. cycle number (closed loading)

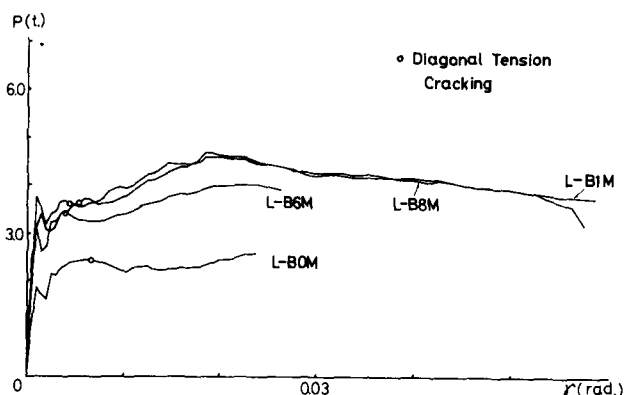


Fig.9  $(P - P_s)$  vs. shear strain

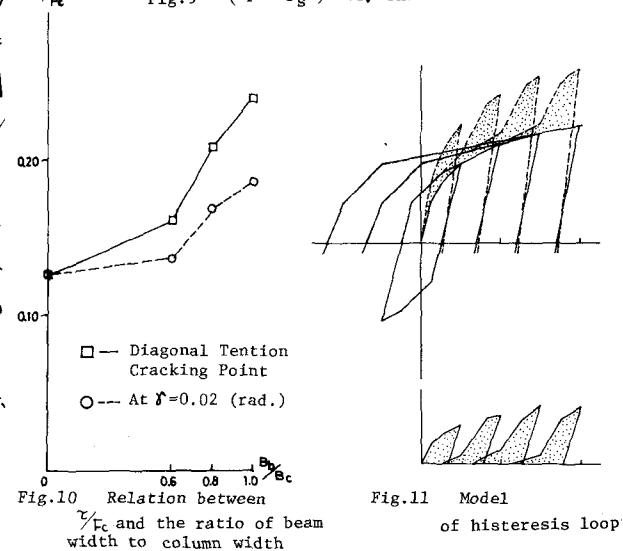


Fig.10 Relation between  $\frac{\gamma}{F_c}$  and the ratio of beam width to column width

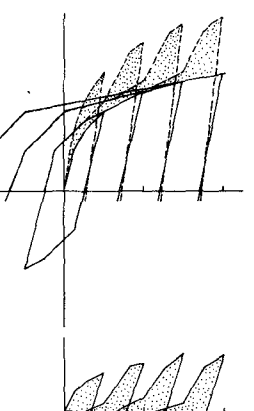


Fig.11 Model of hysteresis loop

$0.236 F_c$  である。Fig.11は、せん断応力とせん断ひずみの関係を示したものである。

Fig.12は、Fig.11に示す様な方法により得られた柱脚接合部のせん断抵抗力と、单调載荷時の場合と同様に繰り返し載荷時の  $\tau/F_c$  の関係の一例を図示したものである。この図から本実験結果の繰り返しは、耐力に拘らずは、せん断ひずみの影響を受けていないことがわかる。

#### 4. 解析解へ → 4. 結論

鉄骨鋼筋コンクリート柱脚接合部は、Fig.13に示す様に、(a)鉄骨ウェブパネル (b)鉄骨ウェブパネル4個のT字型骨組 (c)T字型骨組 (d)T字型骨組外ではり端子の領域と有り鉄筋2層+トボカル(  $s_{b1} \times s_{j_b} + s_{j_c}$  の部分) (d)T字型骨組外ではり端子の領域と有り鉄筋2層+トボカルの4つの要素から成り立つものである。  
Fig.14は本構造に(a), (b), (c)に対するはり端子の外力の約合は、T字型骨組位置であり。(d)に対するはり端子の部材接合部は、以下のようにある。

##### (a) 鉄骨ウェブパネル

曲げモーメントとせん断軸力は、すべてT字型骨組位置で一定。せん断力は、ウェブに一様で、分布してあるものである。次式の関係式が得られる。

$$\omega P^{(1)} = \frac{2\sqrt{2} \cdot s_{j_b} \cdot s_{j_c} \cdot t_p}{2(L_{b1} - s_{j_c}/2) - s_{j_b}} \omega G \omega \gamma \quad \text{--- (4a.1)}$$

$$\omega \gamma_y = \frac{\omega \gamma}{\sqrt{3} \omega G} \quad \text{--- (4a.2)}$$

上式の関係から、鉄骨ウェブパネルの長さを考慮すれば、Fig.15の様に示すよう。すなわち  $\gamma_y$  は、せん断ひずみ  $\gamma$  に比例するが、 $\gamma = \omega \gamma / \sqrt{3}$  である。

##### (b) T字型骨組

\*1) Pは、Fig.15に示す様に、外力を作用させた力である。

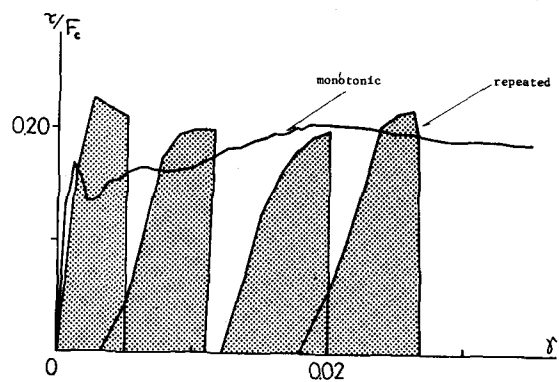


Fig.12  $\tau/F_c$  vs. shear strain

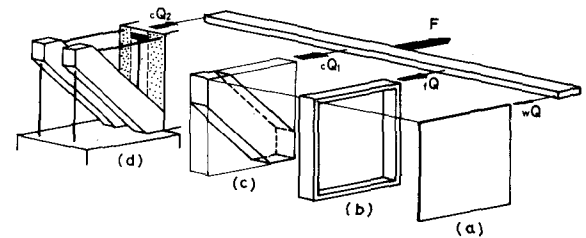


Fig.13 Assumed elements of SRC beam-to-column connection

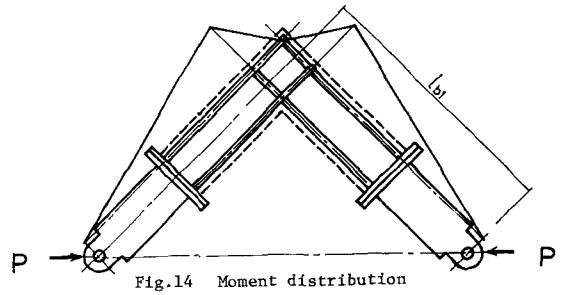


Fig.14 Moment distribution

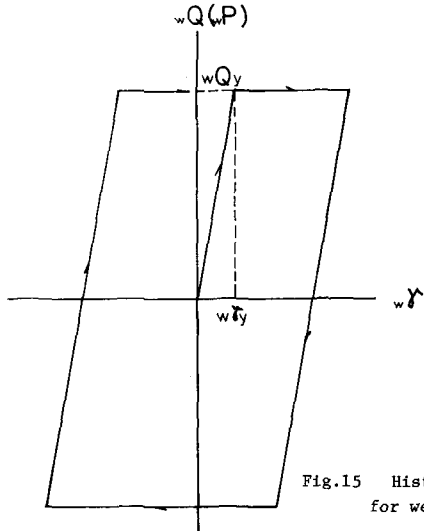


Fig.15 Hysteresis loop for web panel

本実験の様に、T字フレームの形状で、大さく落し、既に骨柱で10倍の剛性があり、T字フレームの骨柱剛性は無視できる要素であると考へられる。このT字フレームの効率IF、hinge methodを用いて、次の様に求めた。

$$fP = \frac{2\sqrt{2}}{2(L_b - s_{j_c}/2) - s_{j_b}} \cdot \frac{24 f_E I_c}{(s_{j_b} + fI_c/fI_b - s_{j_c})} \cdot f\delta_y \quad (4.b.1)$$

T字フレーム骨柱剛性を考慮する時、 $M_p$ （全塑性モーメント）は、連する時の、 $fR_y$ は、次式の関係から求められる。

$$fR_y = \frac{s_{b_1} t_{f1}^2 \cdot f\delta_y (s_{j_b} + fI_c/fI_b - s_{j_c})}{24 f_E I_c} \quad (4.b.2)$$

上式の関係から、T字フレーム骨柱剛性考慮の履歴曲線は、Fig.16の様に示される。

#### (c) T字フレーム骨柱剛性考慮による下限

Fig.17に示す様に、T字フレーム骨柱剛性骨柱剛性の相互作用は無視する。このT字フレーム骨柱剛性は、骨柱剛性を考慮する時、 $F_c$ まで抵抗でき、その後は、抵抗力を失う。これは、コンクリートの強度が、フレース置換によって失われる。

このコンクリートフレースの幅は、Fig.17に示す

様に、コンクリートフレースの幅、 $t_{f1}$ とT字フレーム骨柱剛性を押さえているよ、2、T字フレーム骨柱剛性を生ずるには必要な大きさをもつて、更に、この幅で、強度が最も有効に作用してくれるものと考へる。

上述の考へに基づき、hinge methodの条件式は、次式によると求められる。

$$F_c s_{j_c}^4 \alpha^4 - 4 F_c s_{j_c}^3 \alpha^3 + 4 F_c s_{j_c}^2 \alpha^2 - 2 s_{j_c}^2 t_{f1}^2 f\delta_y = 0 \quad (4.c.1)$$

ここで、この条件式は、lower bound に対応するものである。この(4.c.1)式の解は、決定できれば、コンクリートフレースの幅、求められることとなる。次式が得られる。

$$cP_1 = \frac{2\sqrt{2} s_{j_b}}{2(L_b - s_{j_c}/2) - s_{j_b}} \cdot s_{b_1} \cdot \alpha s_{j_c} \cdot E_c \cdot \frac{\sqrt{2}}{2} \quad (4.c.2)$$

したがって、3/1倍強度を無視するT字フレーム骨柱剛性考慮の履歴曲線は、Fig.18の様に求められる。

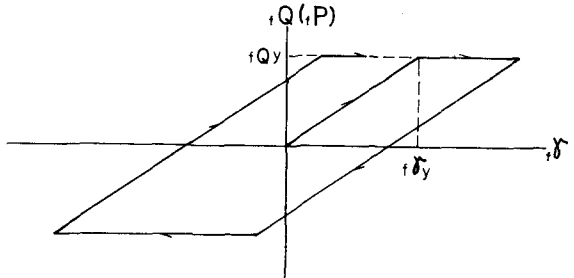


Fig.16 Hysteresis loop for flange frame

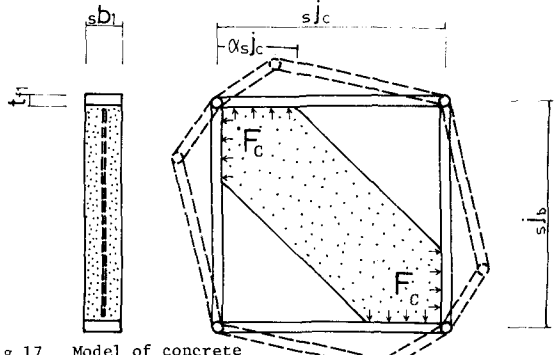


Fig.17 Model of concrete panel

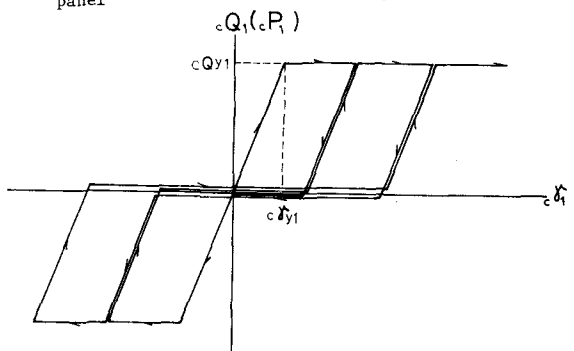


Fig.18 Hysteresis loop for concrete panel

(d) フランジ骨組外における幅方向の領域と有効鉄筋

筋コンクリートのモデル

接合部における場合、Fig.19に示す様に、コンクリートプレースに置換せざるを得ない。ここで、 $r_{bc}$ は、圧縮側アストレスゾーンの矩形区、かつ、 $F_c$ である。一方、引張側の鉄筋は、 $\min(T_y, T_b)$  [N/mm<sup>2</sup>]、 $T_y = n A_{st} \cdot \sigma_y$  (鉄筋の降伏引張力)、 $T_b = n T_b \cdot 4 \cdot L$  (鉄筋の付着抵抗力)]が決定する。よって、その力を伝達するには必要な大きさを求める。ただし、外側圧縮側 (Opening Loading) の場合、以下のように示す様に、 $\frac{1}{2} F_c$ まで左へ外力を作用させると、引き出し、それが、圧縮側アスト筋は無視して考えられる。

上述の考え方に基づき、コンクリートプレースの場合は、次式によることから分かる。

$$r_{bc} = \frac{2 \cdot \min(T_y, T_b)}{\sqrt{2} \cdot F_c (b_b - s_b)} \quad \text{--- (4.d.1)}$$

ここで、以下のような条件から、次式の関係式が求められる。

内側圧縮側載荷の場合

$$cP_1 = \frac{\sqrt{2} \cdot \min(T_y, T_b) [r]_b + d_c - \min(T_y, T_b) / 2 F_c (b_b - s_b)}{(L_b - D_c / 2) F_c} \cdot E_c \cdot \frac{r}{2} \quad \text{--- (4.d.2)}$$

外側圧縮側載荷の場合

$$cP_2 = \frac{\sqrt{2} \cdot \min(T_y, T_b) [r]_b + d_c - \min(T_y, T_b) / F_c (b_b - s_b)}{(L_b - D_c / 2) F_c} \cdot E_c \cdot \frac{r}{2} \quad \text{--- (4.d.3)}$$

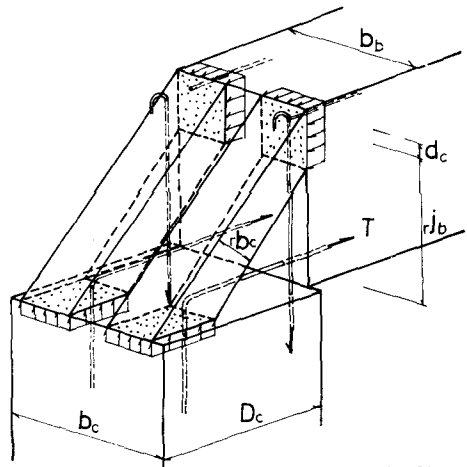
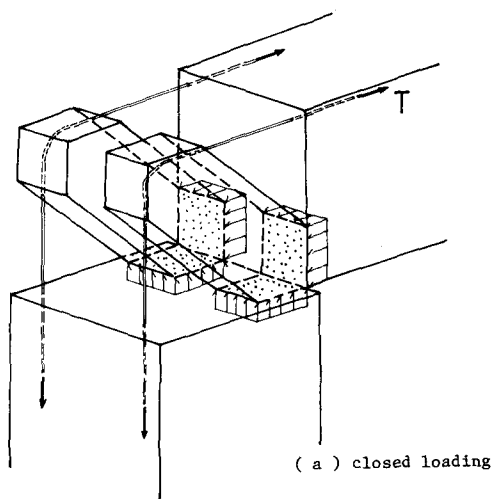


Fig.19 Model of reinforced concrete panel

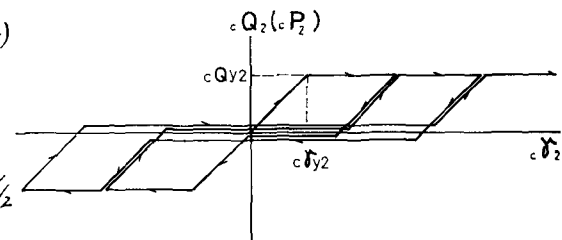


Fig.20 Hysteresis loop for reinforced concrete panel

今、(d)の場合と同じ様に、コンクリートの引張強度を無視すれば決定するが、鉄筋は、フランジ側のモデルと、Fig.20の結果は、ほとんど同じである。つまり、引張側のモデルは、高鉄筋比の小さい場合に対するものである。

5. 解析解の検討

Fig.21は、示したもののは、(a), (b), (c), (d)など、2つの異なるひずみ履歴曲線と、試験体の種類に応じて单纯化されたものである。即ち、L-AORは対称は、(a), (b), L-EORは対称は、(B), (C), L-BORは、

斜 L = 18. (a), (b), (c) まく。 L-B6R = 斜 L 2  
は、 (a), (b), (c), (d) を半周繰り返すものである。  
L-AOR は斜 L 2 は、せん断ひずみ  $\gamma = 0.01$  (rad)  
までは、耐力および履歴特性とともに、よく  
追跡がゆき、より大きいせん断  
ひずみになると、両者ともに解析解と実験  
結果とは、やや離れる傾向にある。これは  
ひずみ硬化 やすい ハンギング効果を  
無視したときに起因しているものと考えら  
れる。L-EOR は斜 L 2 は、耐力および履  
歴特性とともに、このモデルによらずよく説  
明がゆき、その差は認められない。これは、(c)  
のモデル化にあたって、ランジ滑粗化係数  
やエンドノットの相互作用を無視して考  
えているに、このモデル化は、筋骨ケーブ  
ルネットのない試験体 (L-EOM, L-EOK) に  
よるよりも近似しているものであると言え  
る。L-BOR, L-B6R = 斜 L 2 は、両  
者とも、耐力および履歴特性とも、  
ほぼ一致して、その差は認められない。  
このモデルによると、L-BOR と L-B6R の  
最大耐力の相違は、1% 程度である。  
これは、半周載荷時における L-BOM  
と L-BGM の実験結果によると差が大きい。  
この差は、(d) のモデルによるとせん断  
耐力の増加分であると言えられる。

以上述べた様に、実験および実験  
結果の観察によると、2 方向のひずみ比  
較的簡単な、このモデルによると、2  
耐力および履歴特性とともに、よく  
説明できるものと思われる。

#### 謝辞

本研究を行なうにあたり、(株) 反富  
島工業株式会社より多大の御援助  
をいただき、心から感謝  
いたします。

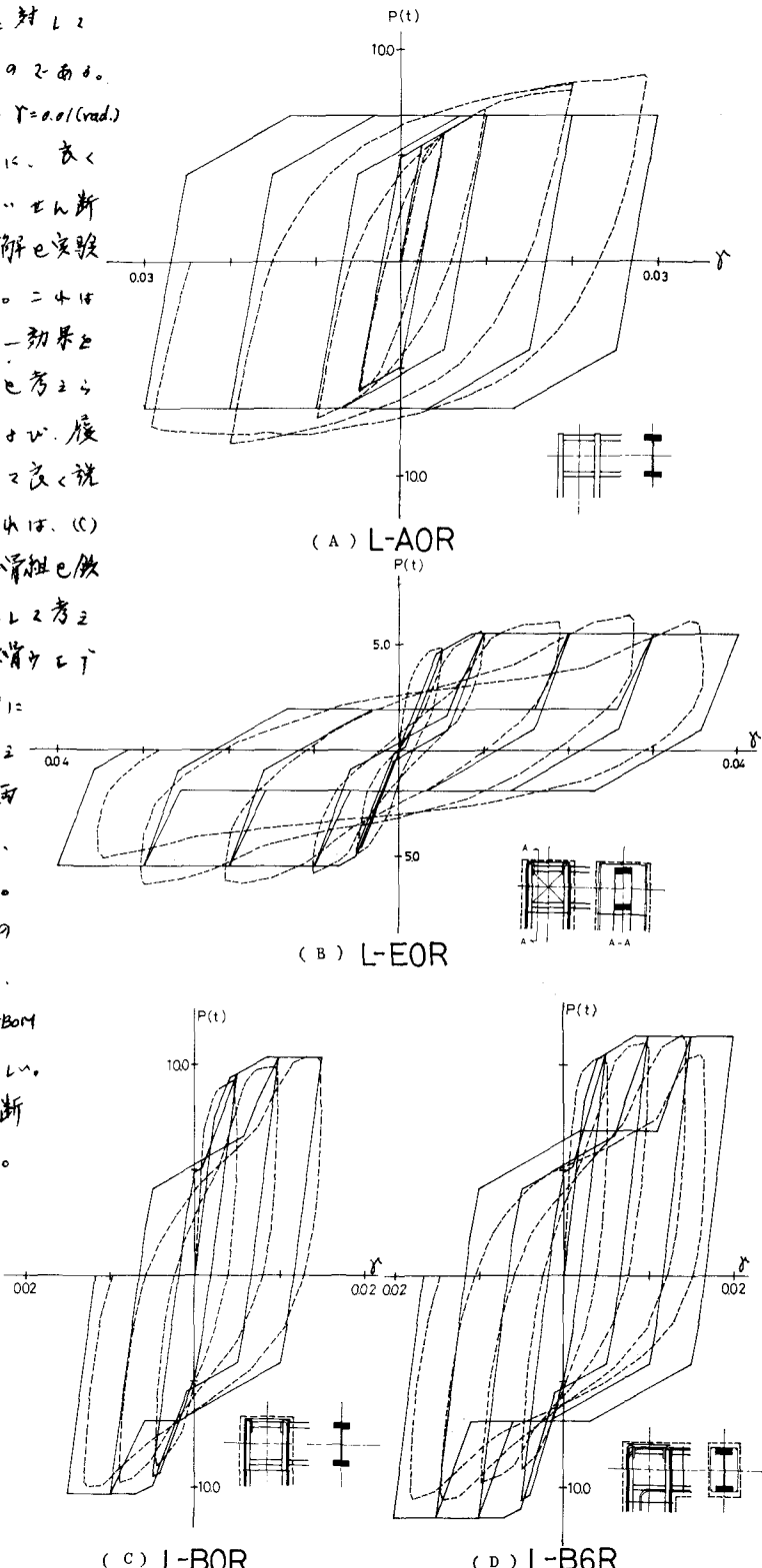


Fig.21 Hysteresis loop for assumed model  
of SRC beam-to-column connection